

文章编号:1004-2174(2015)03-0274-03

# 铌酸镓镧压电晶体生长及性能研究

石自彬,李和新,龙勇,王佳,漆婷,胡少勤

(中国电子科技集团公司第二十六研究所,重庆 400060)

**摘要:**该文报道了 $\text{La}_3\text{Ga}_{5.5}\text{Nb}_{0.5}\text{O}_{14}$ 压电晶体的生长及其压电性能。采用提拉法成功生长了 $\varnothing 55\text{ mm} \times 150\text{ mm}$ 的晶体,晶体透明、无包裹体。采用LCR电桥、谐振-反谐振法测量了晶体的相对介电常数和压电应变常数,并研究了头尾之间性能差异性。测试结果表明头尾之间的差异性在3%以内,表明晶体存在良好的性能均匀性。

**关键词:** $\text{La}_3\text{Ga}_{5.5}\text{Nb}_{0.5}\text{O}_{14}$ 晶体;提拉法;压电性能

**中图分类号:**TN304; O73      **文献标识码:**A

## Growth and Characterization of $\text{La}_3\text{Ga}_{5.5}\text{Nb}_{0.5}\text{O}_{14}$ Single Crystals

SHI Zibin, LI Hexin, LONG Yong, WANG Jia, QI Ting, HU Shaoqin

(26th Institute of China Electronics Technology Group Corporation, Chongqing 400060, China)

**Abstract:** The growth and piezoelectric property of  $\text{La}_3\text{Ga}_{5.5}\text{Nb}_{0.5}\text{O}_{14}$  crystal were reported. By using Czochralski method,  $\varnothing 55\text{ mm} \times 150\text{ mm}$  crystal boule has been successfully grown, which is transparent, inclusions-free. The relative dielectric constants and the piezoelectric strain constants have been determined by an electric bridge and resonant-anti-resonant method. The diversity between the top and the bottom has been determined less than 3%, which shows the excellent uniformity of the crystal.

**Key words:** $\text{La}_3\text{Ga}_{5.5}\text{Nb}_{0.5}\text{O}_{14}$  crystal; Czochralski method; piezoelectric property

## 0 引言

$\text{La}_3\text{Ga}_{5.5}\text{Nb}_{0.5}\text{O}_{14}$ (LGN)是新型的压电晶体材料,与石英同属32点群。该晶体不仅具有较大的机电耦合系数,且具有零温度系数切型及较高的温度稳定性,在声表面波(SAW)和声体波(BAW)方面具有极大的应用价值,引起了国内外科学家的研究兴趣。

目前,已有多课题组对LGN晶体的性能进行了报道,并进行了器件应用研究<sup>[1-6]</sup>。研究结果表明,LGN晶体是性能优良的压电具体晶体材料,但也发现不同厂家或不同批次材料性能有较大差异,甚至同一根晶体不同部位的性能也存在差异。这主要是由于LGN晶体熔点高,而晶体生长时占据主要含量的 $\text{Ga}_2\text{O}_3$ 易挥发,造成晶体的成分发生偏离,从而使质量均匀性好的大尺寸单晶的生长有一定难度,而这也是影响该晶体产业化的重要原因之一。

中国电科二十六所先后成功研制LGS和LGT晶体,并进行了相关报道<sup>[7-8]</sup>。本文通过优化原料配方设计,生长气氛控制、温场结构设计、工艺参数控制等措施,使用提拉法生长出了 $\varnothing 55\text{ mm} \times 150\text{ mm}$ 晶体,采用LCR电路、谐振-反谐振法测试了晶体的介电常数和压电常数,并研究了头尾部性能的一致性。

## 1 试验

### 1.1 晶体生长

LGN是一致熔融化合物,且室温至熔点间无相变,适合采用提拉法进行晶体生长。选用纯度为99.99%的 $\text{Ga}_2\text{O}_3$ 、 $\text{La}_2\text{O}_3$ 、 $\text{Nb}_2\text{O}_5$ 原料,为了保持组分一致性,配料时在化学计量比的基础上,将 $\text{Ga}_2\text{O}_3$ 过量0.5%~1.0%配料。经过8 h混合均匀后,在1 200 °C下固相反应12 h,合成多晶料。将多晶料放入 $\varnothing 100\text{ mm} \times 100\text{ mm}$ 铱坩埚中,在中频感应下熔化。多晶料全部熔化后,过热50~100 °C,并恒温

收稿日期:2014-08-22

基金项目:总装备部预研项目

作者简介:石自彬(1983-),男,山东菏泽人,工程师,硕士,主要从事晶体生长及性能的研究。

0.5 h,使多晶料在自然对流的作用下充分混合均匀,并反应完全,消除多晶粒。为了防止 Ir 坩埚氧化并抑制  $\text{Ga}_2\text{O}_3$  的挥发,晶体生长气氛为氮气混合 1% 体积的氧气。采用上称重自动控制系统,电子称精度 0.01 g,使用的温场结构如图 1 所示。经过收颈、放肩、等径、收尾等工艺后,完成晶体的整个生长过程。将晶体提高熔体,以 30~50 °C/h 的降温速率降至室温。生长过程中提拉速度 0.8~1.5 mm/h,旋转速度 9~12 r/min。

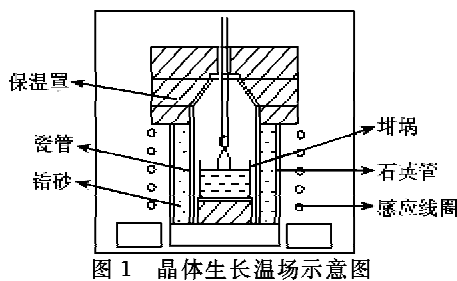


图 1 晶体生长温场示意图

采用  $c$  方向 [0001] 杆晶成功地生长出无色透明、无气泡、无包裹体,尺寸为  $\varnothing 55 \times 150$  mm 的 LGN 晶体,晶体照片如图 2 所示。

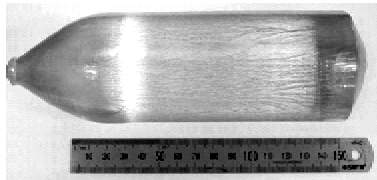


图 2 原生晶体照片

## 1.2 压电性能测试

LGN 晶体的理论密度可通过计算晶胞质量与晶胞体积的比值来计算:

$$\rho_{\text{theory}} = MZ / (N_A V) \quad (1)$$

式中:  $M$  为 LGN 晶体的化学方程式质量;  $Z=1$  为每个晶胞中含有的 LGN 数量;  $N_A$  为阿伏伽德罗常量;  $V$  为晶胞体积; 根据 LGN 的晶格结构,其晶胞体积:

$$V = a^2 c \sin 60^\circ \quad (2)$$

式中  $a$ 、 $c$  为 LGN 晶体的晶格常数,其中  $a = 0.8233 \text{ nm}$ ,  $c = 0.5129 \text{ nm}$ <sup>[1]</sup>。计算 LGN 晶体理论密度为  $5.905 \text{ g/cm}^3$ 。

采用浮力法测量晶体 LGN 晶体密度为  $5.898 \text{ g/cm}^3$ ,与理论密度 0.12%,反映了晶体结构较致密完整。

LGN 晶体属于 32 点群,受对称性影响,该晶体只有 2 个独立的介电常数  $\epsilon_{11}$  和  $\epsilon_{33}$ ,两个独立的压电应变常数  $d_{11}$  和  $d_{14}$ 。介电常数通过 HP4294A 型阻

抗分析仪来测定,样品为  $x$ 、 $z$  方向的  $8 \text{ mm} \times 8 \text{ mm} \times 1.6 \text{ mm}$  方片。使用  $d_{33}$  准静态测试仪直接测定  $d_{11}$  的大小,采用谐振-反谐振法测定  $d_{14}$ ,样品尺寸为  $12 \text{ mm} \times 4 \text{ mm} \times 1.6 \text{ mm}$ 。测试晶片样品主平面均匀涂覆银导电胶,并风干。

## 2 结果及讨论

采用 LCR 电桥分别测量  $x$ 、 $z$  片的电容,相对介电常数为

$$\epsilon/\epsilon_0 = C \cdot t / (A \cdot \epsilon_0) \quad (3)$$

式中:  $A$  为晶片的面积;  $t$  为晶片的厚度;  $C$  为晶片的电容;  $\epsilon_0 = 8.85 \text{ pF/m}$  为真空中的介电常数。

采用  $(yztwl)/45^\circ/0^\circ/0^\circ$  切型, 测量压电常数  $d_{11}$ , 所用公式如下:

$$s = 1 / [4\rho(lf_r)^2] \quad (4)$$

$$\frac{k^2}{k^2 - 1} = \frac{\pi}{2} \cdot \frac{f_s}{f_r} \cdot \cot\left(\frac{\pi}{2} \cdot \frac{f_s}{f_r}\right) \quad (5)$$

$$d = k \sqrt{\epsilon s} \quad (6)$$

式中:  $\rho$  为晶体的密度;  $l$  为样品的长度;  $f_r$  为谐振频率;  $f_s$  为反谐振频率。

介电常数和压电应变常数测试结果如表 1 所示。

表 1 LGN 晶体介电常数和压电常数比较

文献[2]	文献[9]	文献[10]	头部	尾部
$\epsilon_{11}$	$20.70 \pm 0.50$	21.00	19.07	19.83
$\epsilon_{33}$	$79.00 \pm 1.00$	80.00	79.06	76.61
$d_{11}$	$7.41 \pm 0.20$	6.40	7.00	7.10
$d_{14}$	$-6.16 \pm 0.50$	-3.86	-5.60	-5.46
			-5.38	-5.38

至今,许多学者对 LGN 晶体进行了研究,但不同课题组报道的晶体性能存在差异。我们认为这是由于原料配比、生长气氛等不同的晶体生长工艺引起的。J. Bohm 等采用化学计量比配料,在  $\text{N}_2$  气氛下生长了 LGN 晶体<sup>[1]</sup>, Hiroaki Takeda 等采用  $\text{La}_x\text{Ga}_y\text{Nb}_z\text{O}_{14}$  ( $x \leq 3$ ,  $y < 0.5$ ,  $z > 5.5$ ) 的组成,在  $\text{Ar}$  混合 5% 体积  $\text{O}_2$  气氛下,采用提拉法获得了无缺陷 LGN 晶体。F. P. Yu 课题组采用  $\text{Ga}_2\text{O}_3$  过量 1%~1.5% 的原料配比,在  $\text{N}_2$  混合少量  $\text{O}_2$  下生长了完整无宏观缺陷的 LGN 晶体<sup>[10]</sup>。

## 3 结束语

使用提拉法生长出了透明、无包裹体的优质晶体,晶体尺寸  $\varnothing 55 \text{ mm} \times 150 \text{ mm}$ 。采用 LCR 电桥和谐振-反谐振法测量了晶体头尾部的介电常数和压电常数。通过对比发现,晶体头尾部介电、压电性

能数据误差均在3%以内,表明晶体质量存在良好的均匀性。LGN晶体的器件应用性能研究正在进行中。

#### 参考文献:

- [1] BOHM J, HEIMANN R B, HENGST M, et al. Czochralski growth and characterization of piezoelectric single crystals with langasite structure:  $\text{La}_3\text{Ga}_5\text{SiO}_{14}$  (LGS),  $\text{La}_3\text{Ga}_{5.5}\text{Nb}_{0.5}\text{O}_{14}$  (LGN), and  $\text{La}_3\text{Ga}_{5.5}\text{Ta}_{0.5}\text{O}_{14}$  (LGT) Part I [J]. Journal of Crystal Growth, 1999, 204:128-136.
- [2] BOHM J, CHILLA E, FLANNERY C, et al. Czochralski growth and characterization of piezoelectric single crystals with langasite structure:  $\text{La}_3\text{Ga}_5\text{SiO}_{14}$  (LGS),  $\text{La}_3\text{Ga}_{5.5}\text{Nb}_{0.5}\text{O}_{14}$  (LGN), and  $\text{La}_3\text{Ga}_{5.5}\text{Ta}_{0.5}\text{O}_{14}$  (LGT) II. Piezoelectric and elastic properties [J]. Journal of Crystal Growth, 2000, 216:293-298.
- [3] MALOCHA D C, CUNHA M P Da, ADLER E, et al. Recent measurements of material constants versus temperature for langataite, langanite and langasite [J]. IEEE/EIA International Frequency Control Symposium and Exhibition, 2000:200-205.
- [4] STADE J, BOHATY I, HENGST M, et al. Electro-optic, piezoelectric and dielectric properties of langasite ( $\text{La}_3\text{Ga}_5\text{SiO}_{14}$ ), langanite ( $\text{La}_3\text{Ga}_{5.5}\text{Nb}_{0.5}\text{O}_{14}$ ) and langataite ( $\text{La}_3\text{Ga}_{5.5}\text{Ta}_{0.5}\text{O}_{14}$ ) [J]. Crystal Research and Technolog, 2002, 37:1113-1120.
- [5] PUCCIO D, MALOCHA D C, SALDANHA N, et al. SAW parameters on Y-cut langasite structured materials[J]. IEEE Transactions on Ultrasonics, Ferroelectrics, and Frequency Control, 2007, 54:1873-1881.
- [6] YU Fapeng, YUAN Duorong, ZHAO Xian, et al. Investigation of langanite and langataite single crystals for high temperature sensing[J]. IEEE Piezoelectricity, Acoustic Waves and Device Applications, 2010; 564-569.
- [7] 蒋春健,胡少勤,吴兆刚,等.  $\text{La}_3\text{Ga}_5\text{SiO}_{14}$  晶体生长研究[J]. 压电与声光,2003,25(2):133-135.
- [8] 漆婷,吴兆刚,莫彦伟,等.  $\text{La}_3\text{Ga}_{5.5}\text{Ta}_{0.5}\text{O}_{14}$  晶体的生长及性能研究[J]. 压电与声光,2009,31(1):97-99.
- [9] QI Ting, WU Zhaogang, MO Yanyi, et al. Growth and characterization of  $\text{La}_3\text{Ga}_{5.5}\text{Ta}_{0.5}\text{O}_{14}$  crystal[J]. Piezoelectrics & Acoustooptics, 2009, 31(1):97-99.
- [10] TAKEDA H, KUZE T, NISHIDA T, et al. Effect of starting melt composition on crystal groeth of  $\text{La}_3\text{Ga}_{5.5}\text{Nb}_{0.5}\text{O}_{14}$  [J]. Materials research Bulleyin, 2008, 43: 1731-1736.
- [11] YU F P, YUAN D R, YIN X, et al. Czochralski growth and characterization of the piezoelectric single crystal  $\text{La}_3\text{Ga}_{5.5}\text{Nb}_{0.5}\text{O}_{14}$  [J]. Solid State Communications, 2009, 149:1278-1281.

(上接第273页)

#### 参考文献:

- [1] 童建喜. 中介电常数低温共烧微波介质陶瓷及其器件研究[D]. 杭州:浙江大学,2006.
- [2] 杨辉,张启龙. 低温共烧陶瓷及其器件的研究进展[D]. 杭州:浙江大学, 2008.
- [3] LEE W J, WAKAHARA A, KIM B H. Decreasing of  $\text{CaZrO}_3$  sintering temperature with glass frit addition [J]. Ceramics International, 2005, 31:521-524.
- [4] KIM B H, LEE W J, LEE G Y, et al. Dielectric properties of  $(1-x)\text{CaZrO}_3-0.1\text{SrTiO}_{3-x}\text{TiO}_2$  system with addition of glass frit[J]. Jpn J of Appl Phys, 2004, 43 (11A):7583-7586.
- [5] BARRANCO A P. Advances in ferroelectrics[M]. S. l.: InTech, 2012, 127- 162.
- [6] 李栋,李谦,黄金亮,等.  $\text{ZnO-B}_2\text{O}_3-\text{SiO}_2$ 掺杂对锆酸钙基陶瓷介电性能的影响[J]. 压电与声光, 2013, 32 (9):5-8.
- LI Dong, LI Qian, HUANG Jinliang, et al. Effect of

- ZnO- $\text{B}_2\text{O}_3$ - $\text{SiO}_2$  glass doping on dielectric properties of  $\text{CaZrO}_3$  microwave dielectric ceramics[J]. Piezoelectrics & Acoustooptics, 2013, 32(9):5-8.
- [7] GUO Dong, LING Zhiyuan, HU Xing. Low temperature sintering and dielectric properties of  $\text{Ba}_2\text{Ti}_3\text{Nb}_4\text{O}_{18}$  ceramics for silver co-sintering application[J]. J Mater Sci, 2009, 20:582-586.
- [8] 程吉霖,余洪滔,张文博,等.  $\text{ZnO-B}_2\text{O}_3-\text{SiO}_2$  玻璃对硅酸锌陶瓷结构与微波介电性能的影响[J]. 人工晶体学报, 2011, 40(5):1219-1223.
- CHENG Jilin, YU Hongtao, ZHANG Wenbo, et al. Effect of ZnO- $\text{B}_2\text{O}_3$ - $\text{SiO}_2$  glass on structure and microwave dielectric properties of zinc silicate ceramics[J]. Journal of Synthetic Crystals, 2011, 40(5):1219-1223.
- [9] 熊钢,周东祥,龚树萍.  $\text{ZnO-B}_2\text{O}_3-\text{SiO}_2$  玻璃对  $\text{Ca}[(\text{Li}_{1/3}\text{Nb}_{2/3})_{0.95}\text{Zr}_{0.15}]\text{O}_{3+\delta}$  陶瓷微波介电性能的影响[J]. 中国陶瓷, 2008, 44(4):12-14.
- XIONG Gang, ZHOU Dongxiang, GONG Shuping. Effect of  $\text{ZnO-B}_2\text{O}_3-\text{SiO}_2$  glass on microwave dielectric properties of  $\text{Ca}[(\text{Li}_{1/3}\text{Nb}_{2/3})_{0.95}\text{Zr}_{0.15}]\text{O}_{3+\delta}$  ceramics [J]. China Ceramics, 2008, 44(4):12-14.